

1. 側圧係数の変化に伴うトンネル周辺応力の変化の光弾性学的研究

徳島大学工学部

小田英一

○丸上晴朗

東北大学修士コース

森 芳信

トンネル掘削以前の地山中の任意の点は静力学的に一つの平衡状態にあり、この場合の応力状態を1次応力状態といふ。この地山中にトンネルを掘削した場合、トンネル周囲の地山には応力状態の変化が起り、変形又は破壊を生ずる。この変形が弹性変形の場合には短時間に完了し、2次の平衡状態に達する。地山のポアソン比により1次応力状態が変化してくる。1次応力で鉛直方向直応力 P_0 に対する水平方向直応力 P_h の比を側圧係数 λ_0 といふ。

$$\lambda_0 = \frac{P_h}{P_0} = \frac{1}{\nu - 1} \quad \cdots \cdots \cdots \quad (1)$$

地山の地表面が水平で、トンネルは二車線型の道路トンネルに使用される一般的な断面形状をもつたものとする。この素掘トンネル周辺の応力分布は入の値により変化してくる。トンネル周辺の応力分布は落盤の原因や土圧計算の基礎となるものであるが、トンネルの形が実際の一般的な形のものは数学的取扱いが困難なので光弾性実験によって応力分布を研究することにした。またこのような問題はトンネル周縁についてはよく研究されているが、その地山の奥の応力分布までは研究されていない。落盤の範囲を知るにはこのような応力分布の研究が必要となるのである。

光弾性実験としてはエポキシ樹脂板にトンネル孔をあけ、これに鉛直方向荷重をかけた場合と水平方向荷重をかけた場合の繰次数の測定及び等傾線の観測をした。鉛直方向荷重載荷のときのトンネル周辺の主応力線及び主応力分布を求め、また水平方向荷重載荷のときのトンネル周辺の主応力線及び主応力分布を求め、この二つの値を入を変化させて重ね合せて、トンネル周辺の応力分布を求めたのである。

使用したエポキシ樹脂板は光弾性感度 $\alpha = 0.684 \text{ mm/kg}$ 、板厚 $d = 5.75 \text{ mm}$ のものを用いた。トンネル模型実験は $66 \times 88 \times 5.75 \text{ mm}$ のエポキシ樹脂板にトンネル孔を作ったもので光弾性実験をした。写真一は鉛直荷重 0.277 kg/mm^2 を載荷したときの織模様であり、

写真-2は水平荷重 0.208kg/mm^2 に該当する荷重を載荷したときの縮模様であり、載荷重体等分布荷重が載荷面にかかる装置とした。尚フリンゲトレーサによつて0.5次、1.5次、2.5次、3.5次の繰次数の曲線を求めて計算の精度をあげることとした。

等傾線の観測において、 θ ：検光子と偏光子と共に時計方向に回転する角度として、 $\theta = 0^\circ, 5^\circ, 10^\circ, 20^\circ, 30^\circ, 40^\circ, 50^\circ, 60^\circ, 70^\circ, 80^\circ$ の場合について写真撮影をして等傾線を求めた。繰次数と等傾線より主応力 P 、 γ を求めると $Lamé-Maxwell$ の方程式の

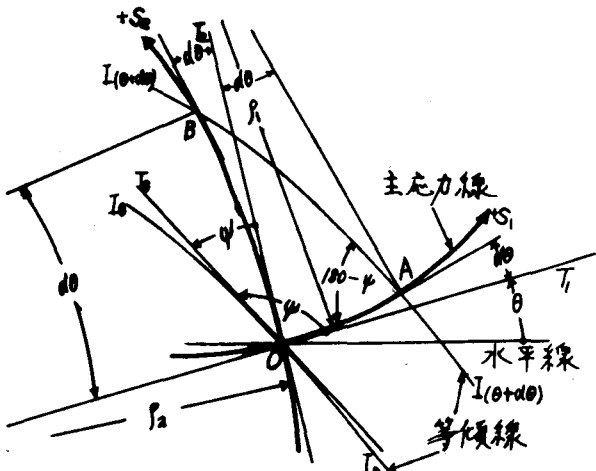
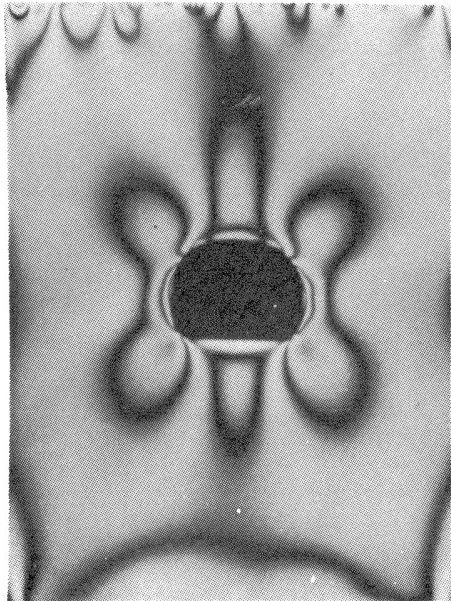
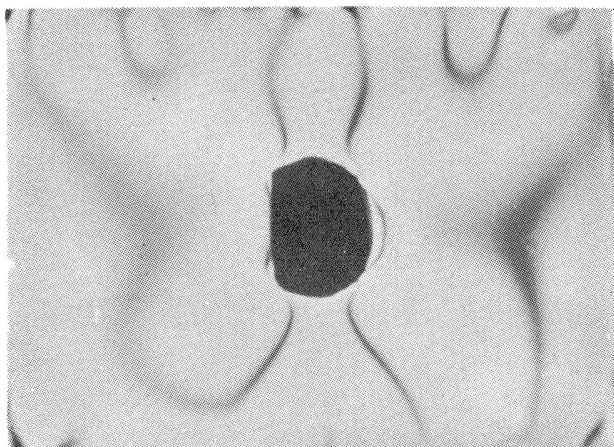


写真-1



一般にトンネル地山の硬いときは入の内で上盤の引張によると
肌落ちによる土圧があこり、
地山の軟いときは入大でトン
ネル周辺応力は全部圧縮とな
り、塑性流動により側圧の増
大があこると考えられるので
ある。

写真-2



1(2)-2

$$\lambda_0 = 0.111$$

$$P_V = 1 \text{ kg/cm}^2$$

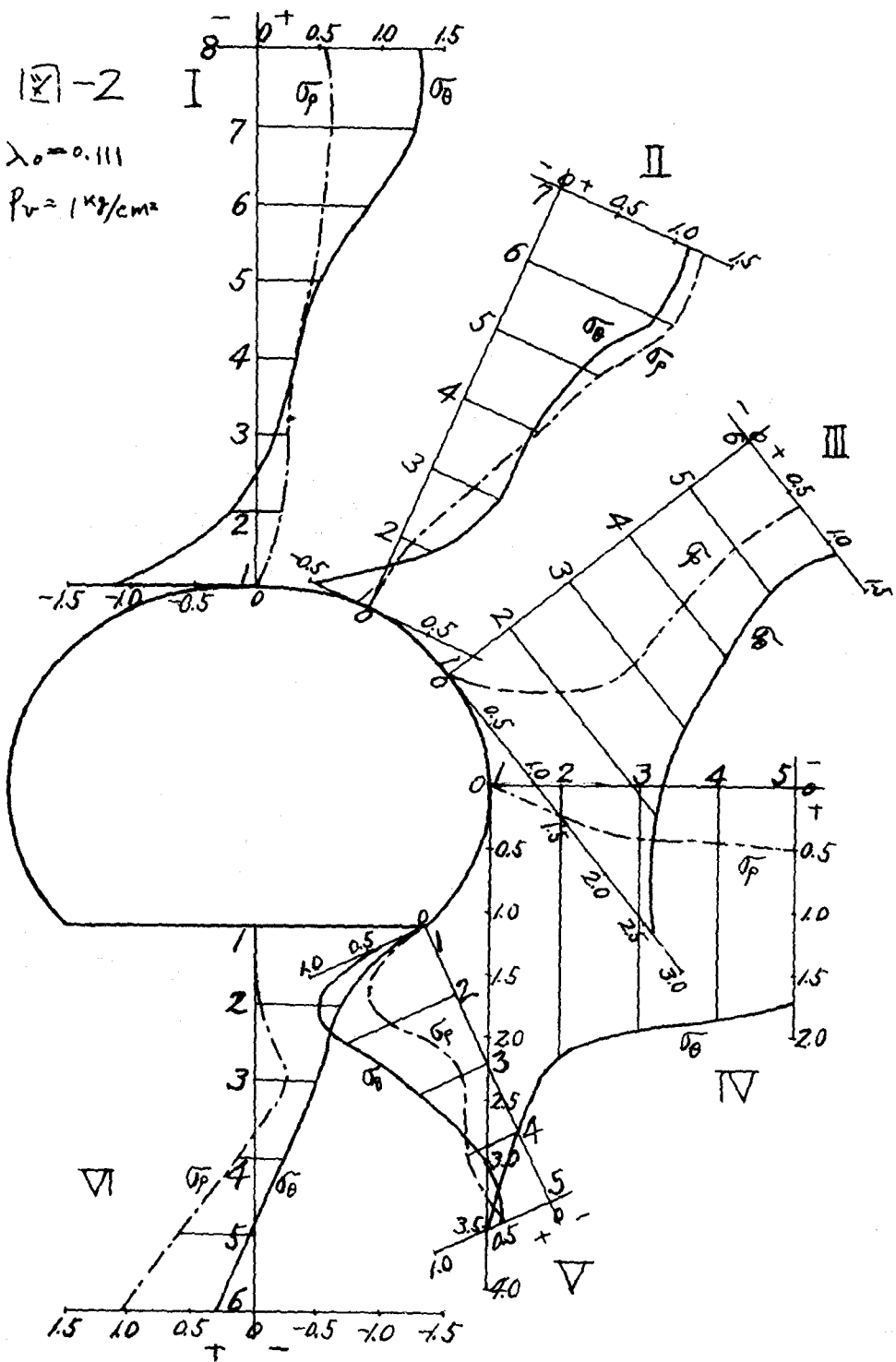


图-3

$$\lambda_0 = 0.429$$

$$P_r = 1 \text{ kp/cm}^2$$

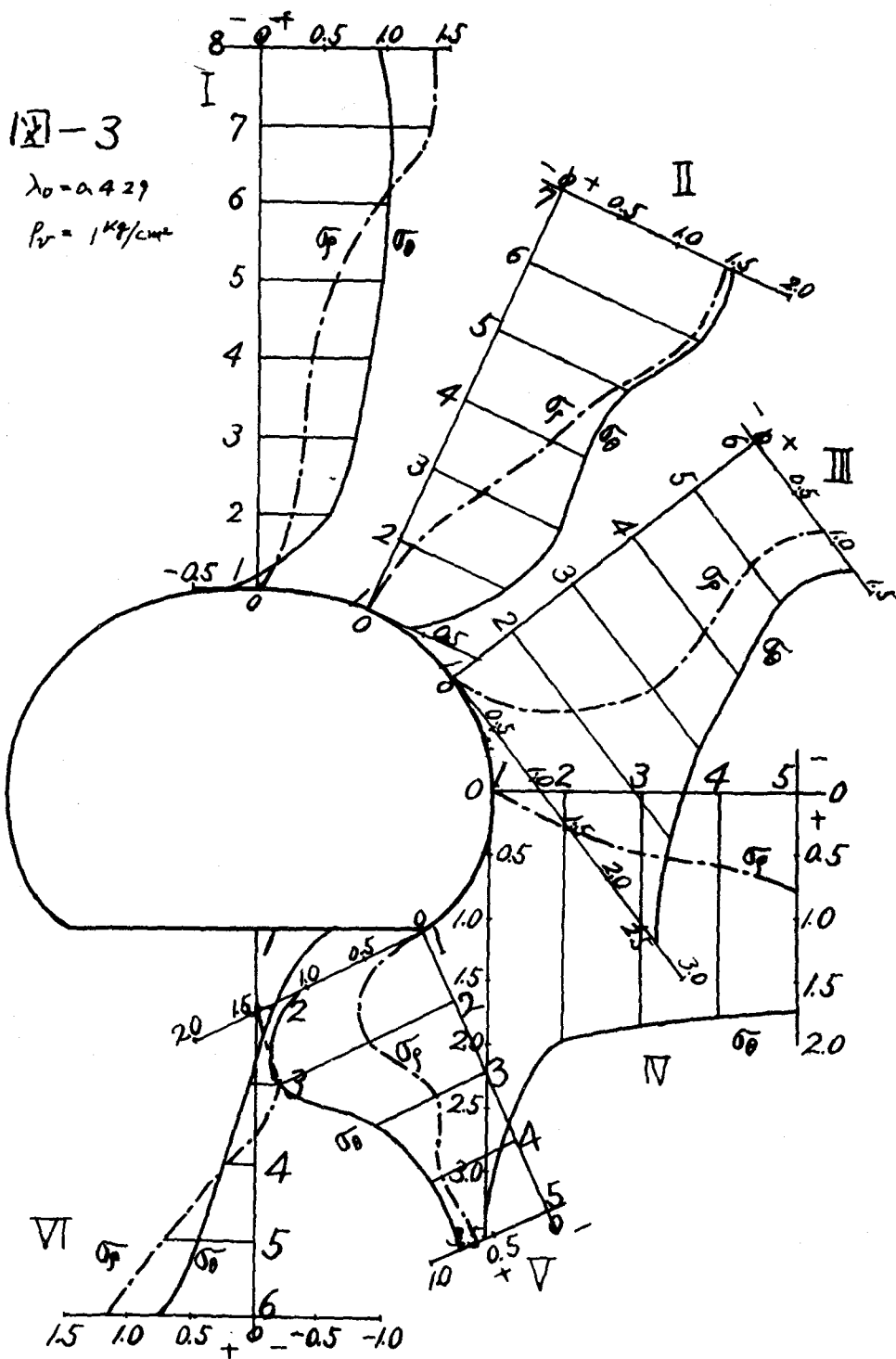


图-4

$$\lambda_0 = 1.00;$$

$$P_V = 1 \text{ kg/cm}^2$$

